

Restauración de imágenes como un problema mal planteado de gran escala

Iván Méndez Cruz

Universidad Nacional Autónoma de México
Facultad de Ciencias

1 de Septiembre del 2016

Guión

1. Modelo de Difuminación
2. Problemas Mal Planteados
3. Estructura del Problema
4. Regularización
5. Super-resolución

Procesamiento de imágenes



Sistemas de Vigilancia



Fotografía aérea



Tomografía computarizada



imágenes espaciales

El problema

Dada una imagen difuminada \mathcal{G} , obtener una imagen \mathcal{F} de la misma escena con menos degradaciones.

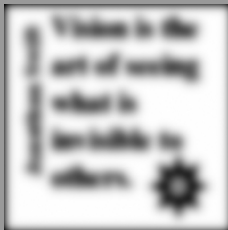


Imagen difuminada \mathcal{G}

Modelo: Difuminación

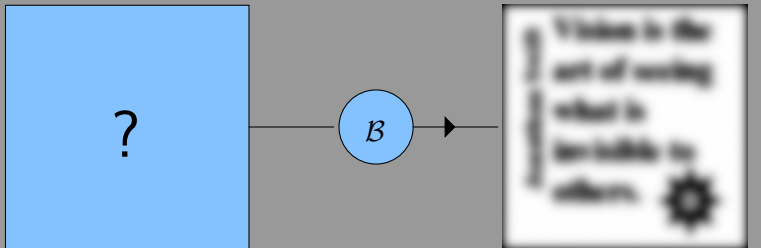


Imagen original \mathcal{F}

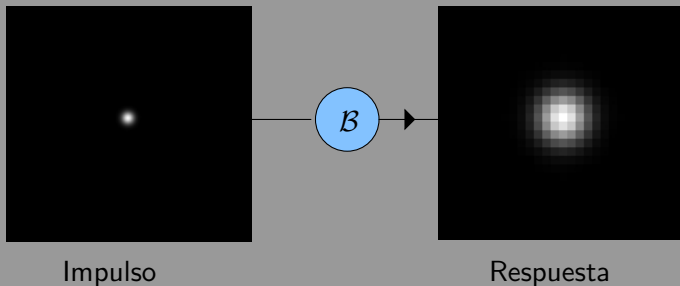
Imagen difuminada \mathcal{G}

Operador \mathcal{B} de difuminación

- \mathcal{F} y \mathcal{G} : distribuciones continuas de tono de gris en el plano

Modelo: Difuminación

- \mathcal{B} : dispersa el brillo de cada punto de la imagen



El problema

- funciones $f, g : \mathbb{R}^2 \rightarrow [0, 1]$ a imágenes \mathcal{F} y \mathcal{G}
- $\mathcal{B} : L^2(\mathbb{R}^2) \rightarrow L^2(\mathbb{R}^2)$

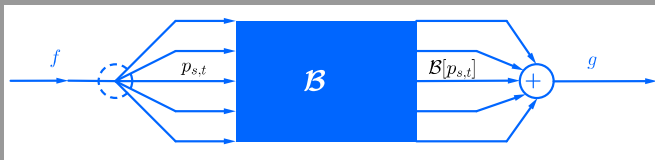
Deblurring

Dada la función g y el operador de difuminación \mathcal{B} , hallar la función f tal que

$$\mathcal{B}[f] = g.$$

Hipótesis del modelo

- \mathcal{B} lineal



impulso $\delta(x - s, y - t)$ $\xrightarrow{\mathcal{B}}$ PSF $K((x, y), (s, t))$

$$f(x, y) = \int \int_{\mathbb{R}^2} \delta(x - s, y - t) f(s, t) ds dt$$

$$B[f](x, y) = \int \int_{\mathbb{R}^2} K((x, y), (s, t)) f(s, t) ds dt$$

Hipótesis del modelo

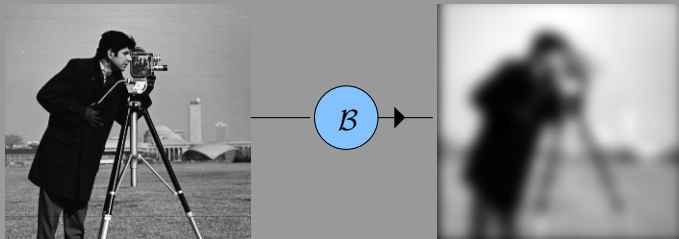
- \mathcal{B} espacialmente invariante

$$f(x + s, y + t) \xrightarrow{\mathcal{B}} g(x + s, y + t)$$

función $k : \mathbb{R}^2 \rightarrow \mathbb{R}$

- $K((x, y), (s, t)) = k(x - s, y - t)$
- $k(x, y) \geq 0$
- $\int_{\mathbb{R}^2} k(x, y) dx dy = 1$

Hipótesis del modelo

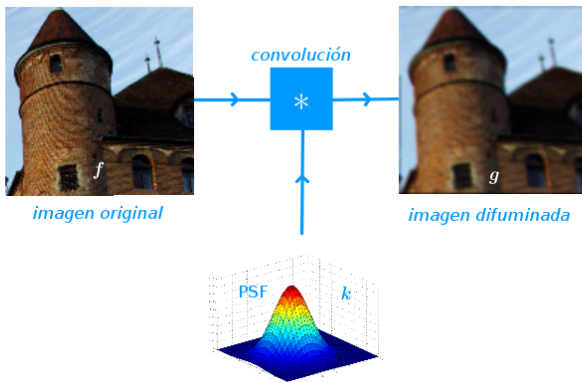


$$k(x, y) = \frac{1}{\sigma\sqrt{2\pi}} \exp\left(-\frac{((x-s)^2 + (y-t)^2)}{2\sigma^2}\right)$$

- \mathcal{B} separable
funciones $k_1, k_2 : \mathbb{R} \rightarrow \mathbb{R}$ tales que $k(x, y) = k_1(x)k_2(y)$

Modelo: Convolución

$$\mathcal{B}[f](x, y) = \int \int_{\mathbb{R}^2} k(x - s, y - t) f(s, t) = k * f$$



Deconvolución

Modelo para difuminar imágenes

Problema Directo (Convolución)

Dada la función f y la PSF k , calcular $g = f * k$.

Restauración de imágenes

Problema Inverso (Deconvolución)

Dada la función g y la PSF k , hallar función f tal que $g = f * k$.

Deconvolución

Ejemplo: La forma del vertedero

La función c que nos da el caudal del agua que pasa por una placa se relaciona con la función de forma f que tiene la abertura de la placa mediante la ecuación integral

$$c(z) = 2 \int_0^z \sqrt{2g_0(z-y)} f(y) dy, \quad 0 \leq z \leq 1$$

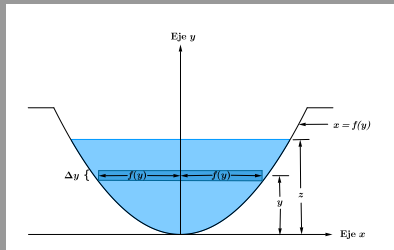
donde g_0 es constante de aceleración en caída libre en ft/s^2 .

Problema: Dados

$$c(z) = z^2 \quad \text{y} \quad k(z, y) = 2\sqrt{2g_0(z-y)}$$

con $g_0 = 32$, hallar f tal que

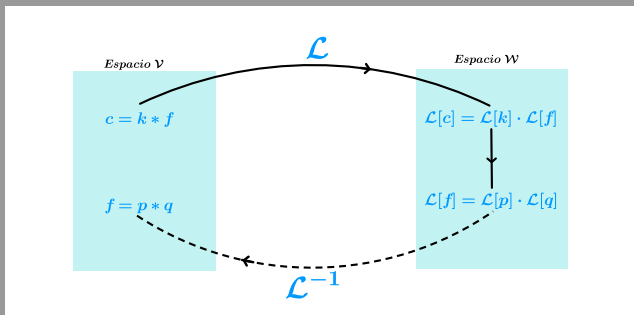
$$c = k * f$$



Deconvolución

solución analítica $f(y) = \sqrt{y}/(2\pi)$ por transformada de Laplace

$$\mathcal{L}[f] = \int_0^{\infty} e^{-sy} f(y) dy$$



$$\mathcal{B}[f](z) = 2 \int_0^z \sqrt{2g_0(z-y)} f(y) dy$$

$$\mathcal{B}^{-1}[c](y) = \frac{4}{g_0 \pi} \int_0^y \frac{c''(z)}{\sqrt{z-y}} dz$$

Deconvolución

Resolver $c = k * f$ con $c(z) = z^2 + \epsilon$ con $\epsilon \sim N(0, 1)$.

Discretización por colocación
en 200 puntos z_i de $[0, 1]$:

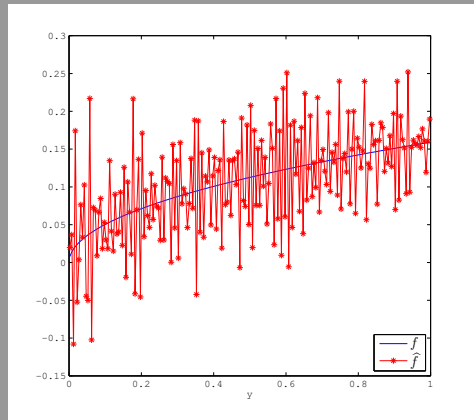
$$Ax = \mathbf{b} + \epsilon$$

$$b_i = z_i^2, \quad x_i = f(z_i/2)$$

$$a_{i,j} = \begin{cases} \frac{16}{200^{3/2}} \sqrt{i-j+\frac{1}{2}}, & \text{si } i \geq j, \\ 0 & \text{en otro caso,} \end{cases}$$

$$i, j = 1, \dots, 200.$$

solución numérica \hat{f}



Problemas mal planteados

Problema: Dado operador $\mathcal{B} : L^2[0, 1] \rightarrow L^2[0, 1]$ y función $g \in L^2[0, 1]$, hallar función $f \in L^2[0, 1]$ tal que $\mathcal{B}[f] = g$.

Problema bien planteado

- tiene solución
- la solución es única
- la solución depende continuamente de los datos

De otro modo, **problema mal planteado**



Hadamard

bien planteado si \mathcal{B} biyección con \mathcal{B}^{-1} continua.

Deconvolución: un problema mal planteado

Teorema

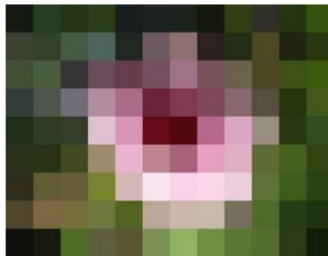
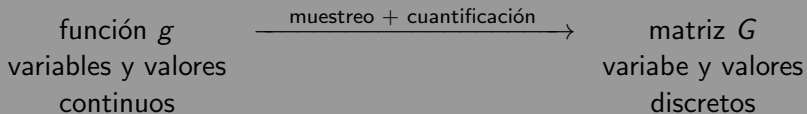
$B[f] = k * f$ sobre $L^2[0, 1]$
con $k \in L^2([0, 1] \times [0, 1]) \implies \mathcal{B}$ compacto y acotado sobre $L^2[0, 1]$ de dimensión infinita

Teorema

\mathcal{B} lineal, compacto y acotado sobre $L^2[0, 1]$ de dimensión infinita $\implies \mathcal{B}^{-1}$ no continua

Modelo Discreto

La imagen observada es imagen digital.



Convolución Discreta

discretización por colocación

- muestras de g en \mathbb{Z}^2
- soporte de g en $[1, m] \times [1, n]$
- soporte de k en $[-l, l] \times [-r, r]$

caso 1D

$$g(x) = \int_{\mathbb{R}} k(x-s)f(s), \quad x \in \mathbb{R}$$



$$g_i = \sum_{p=-l}^l k_{i-p} f_p, \quad i = 1, \dots, m$$



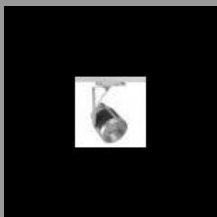
$$\left[\begin{array}{ccc|ccc} k_r & \cdots & k_0 & \cdots & k_{-r} & & & 0 & & 0 \\ & & & & & & & & & \\ & & & & & & & & & \\ & & & & & & & & & \\ & & & & & & & & & \\ 0 & & 0 & & & & k_r & \cdots & k_0 & \cdots & k_{-r} \end{array} \right] \begin{array}{c} f_{-r+1} \\ \vdots \\ f_0 \\ \vdots \\ f_{n+r} \end{array} = \begin{array}{c} g_1 \\ \vdots \\ g_n \end{array}$$

$A \qquad \qquad \qquad \mathbf{x} \qquad = \qquad \mathbf{b}$

sistema indeterminado con A de tamaño $n \times (n + 2r)$

Condiciones de frontera

f fuera de $[1, m] \times [1, n] \longrightarrow$ reordena matriz A



cero



1D

A matriz de Toeplitz

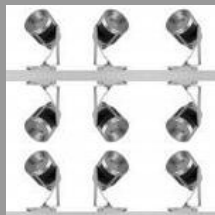


periódica



1D

A matriz circular



reflexiva



1D

$A = \text{Toeplitz} + \text{Hankel}$

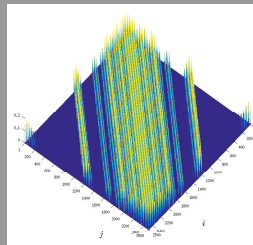
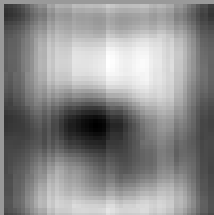
Condiciones de frontera

En 2D, A de $n \times n$ bloques, cada bloque de $m \times m$.

condición de frontera	estructura por bloques	bloque
cero	Toeplitz	Toeplitz
periódica	Circular	Circular
reflexiva	Toeplitz +Hankel	Toeplitz+Hankel

Ejemplo

imagen de 50×50 píxeles
 k gaussiana con s. d. = 2
condiciones periódicas
 A de 2500×2500



Deblurring: Problema de gran escala

imágenes \mathcal{F} y \mathcal{G}
 1600×1200 píxeles \longrightarrow matrices F y G
 operador \mathcal{B} \longrightarrow tamaño 1280×1024
 matriz A de orden
 $(1600)(1200)=1920000$

Problema: Dadas matrices A y G , hallar matriz F tal que

$$\text{Avec}(F) = \text{vec}(G)$$

¿podemos reducir las dimensiones del problema?

$$\begin{matrix} \square & \square & \square & \square \\ \square & \square & \square & \square \\ \square & \square & \square & \square \\ \square & \square & \square & \square \end{matrix} = \begin{matrix} \square \\ \square \\ \square \\ \square \end{matrix} \times \begin{matrix} \square & \square & \square & \square \end{matrix}$$

A A_r A_c

Reducción de Dimensión

hipótesis del modelo: \mathcal{B} es separable.

↪

Producto de Kronecker

$$A = A_r \otimes A_c$$

A_r de 1200×1200

A_c de 1600×1600

condiciones cero $\longrightarrow A = \text{Toeplitz} \otimes \text{Toeplitz}$

condiciones periódicas $\longrightarrow A = \text{Circular} \otimes \text{Circular}$

condiciones reflexivas $\longrightarrow A = (\text{Toeplitz} + \text{Hankel}) \otimes (\text{Toeplitz} + \text{Hankel})$

Deblurring

Problema: Dadas matrices A_r, A_c y G , hallar matriz F tal que

$$(A_r \otimes A_c)\text{vec}(F) = \text{vec}(G)$$

Propiedades del Producto de Kronecker

- $(A_r \otimes A_c)^{-1} = A_r^{-1} \otimes A_c^{-1}$
- $(A_r \otimes A_c)\text{vec}(F) = \text{vec}(A_c F A_r^T)$

Matriz de imagen restaurada $F = A_c^{-1} G A_r^{-T}$

NOTA: B no separable $\longrightarrow A \approx \sum_i R_i \otimes C_i$

Deblurring

Ejemplo: restauración del Alma Mater

imagen \mathcal{G} de 1600×1200 píxeles

$$\text{PSF } k_{i,j} = \begin{cases} 1/(7^2\pi) & \text{si } i^2 + j^2 \leq 7 \\ 0 & \text{en otro caso} \end{cases}$$

$$\text{supp}(k) = [-799, 799] \times [-599, 599]$$

condiciones de frontera periódicas

$G + E$ con $E \sim N(0, 0, 1)$ vector aleatorio de $\mathbb{R}^{1600 \cdot 1200}$



Deblurring

A de orden $(1600)(1200)$ circular por bloques

bloques: matrices circulares de 1600×1600

PSF no separable: aproximación de A por SVD

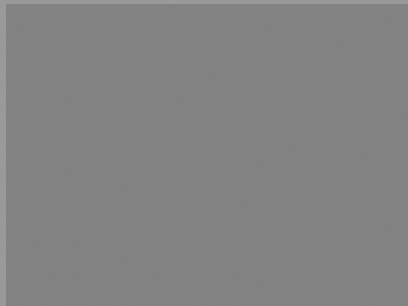
$$\begin{bmatrix} k_{-799,-599} & \cdots & k_{-799,599} \\ \vdots & & \vdots \\ k_{799,-599} & \cdots & k_{799,599} \end{bmatrix} = [\mathbf{u}_1 \cdots \mathbf{u}_{1599}] \begin{bmatrix} \sigma_1 & & \\ & \ddots & \\ & & \sigma_{1199} \\ & & & \mathbf{0} \end{bmatrix} \begin{bmatrix} \mathbf{v}_1^T \\ \vdots \\ \mathbf{v}_{1199}^T \end{bmatrix}$$

$$\sigma_1 = 7.49992 \times 10^{-2} \geq \cdots \geq \sigma_{1199}$$

A_c circular con 1er renglón $[\sqrt{\sigma_1} \mathbf{u}_1^T \ 0]$

A_r circular con 1er renglón $[\sqrt{\sigma_1} \mathbf{v}_1^T \ 0]$

resolver $(A_r \otimes A_c) \text{vec}(F) = \text{vec}(G)$



Deblurring: un problema mal condicionado

matriz $A_r \otimes A_c$ mal condicionada $\text{cond}(A_r \otimes A_c) = 1.9301 \times 10^7$

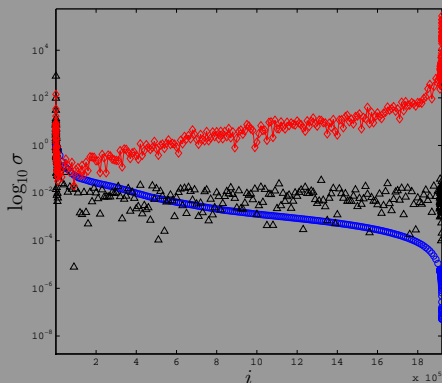
expande $\mathbf{g} = \text{vec}(G)$ y $\mathbf{f}_{LS} = \text{vec}(F)$ en base de vectores singulares

X

Condición de Picard:

En promedio, $|\mathbf{u}_i^T \mathbf{g}| / \sigma_i \downarrow 0$

→ Problema mal planteado



○ valores singulares σ_i

△ coeficientes $|\mathbf{u}_i^T \mathbf{g}|$ de \mathbf{g}

◇ coeficientes $|\mathbf{u}_i^T \mathbf{g}| / \sigma_i$ de \mathbf{f}_{LS}

Métodos de Regularización

idea: problema P mal condicionado \longrightarrow problemas P_λ con $\text{cond}(P_\lambda) \ll \text{cond}(P)$

Problema de cuadrados mínimos:

$$\min_{\mathbf{f} \in \mathbb{R}^{mn}} \|\mathbf{A}\mathbf{f} - \mathbf{g}\|_2$$

Restricción sobre tamaño de solución:

$$\min_{\mathbf{f} \in \mathbb{R}^{mn}} \|\mathbf{A}\mathbf{f} - \mathbf{g}\|_2 + \lambda \|\mathbf{f}\|_2$$

Métodos de Regularización

Restricción sobre suavizamiento:

$$\min_{f \in \mathbb{R}^{mn}} \|Hf - g\|_2 + \lambda \|Lf\|_2$$

Lf = convolución discreta de F con filtro Laplaciano

$$= \begin{bmatrix} f_{11} & \cdots & f_{1,n} \\ \vdots & & \vdots \\ f_{m,1} & \cdots & f_{m,n} \end{bmatrix} * \begin{bmatrix} 0 & -1 & 0 \\ -1 & 4 & -1 \\ 0 & -1 & 0 \end{bmatrix}$$

Métodos de regularización numérica

- Regularización de Tikhonov

$$\min_{\mathbf{f} \in \mathbb{R}^{mn}} \|\mathbf{A}\mathbf{f} - \mathbf{g}\|_2^2 + \lambda \|\mathbf{f}\|_2^2$$

- Problema de región de confianza

$$\min_{\|\mathbf{f}\|_2 \leq \delta} \|\mathbf{A}\mathbf{f} - \mathbf{g}\|_2^2$$

- SVD truncada

Métodos de regularización numérica

SVD → Soluciones regularizadas

- Regularización de Tikhonov

$$f^\lambda = \sum_{i=1}^{mn} \frac{\sigma_k}{\sigma_k^2 + \lambda} (u_i^T g) v_k, \quad \lambda > 0$$

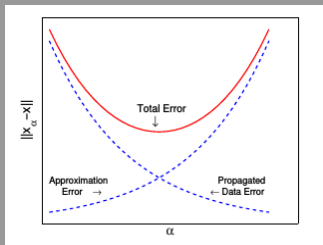
- SVD truncada

$$f^k = \sum_{i=1}^k \frac{u_i^T g}{\sigma_k} v_k, \quad k \in \{1, \dots, r\}$$

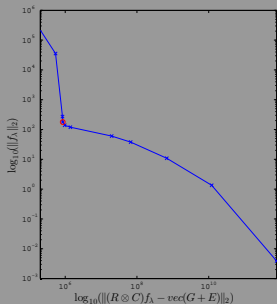
SVD de $A = A_r \otimes A_c$

$$\begin{aligned} A_r &= U_r \Sigma_r V_r^T \\ A_c &= U_c \Sigma_c V_c^T \end{aligned} \implies A = \underbrace{(U_r \otimes U_c)}_U \underbrace{(\Sigma_r \otimes \Sigma_c)}_\Sigma \underbrace{(V_r \otimes V_c)^T}_V$$

Elección del parámetro de regularización



- Principio de discrepancia
- GCV
- Criterio de la L-Curva



esquina de $(\log \|b - Ax_\alpha\|, \log \|x_\alpha\|)$
 punto de mayor curvatura

Regularización en Deblurring

Ejemplo del Alma Mater

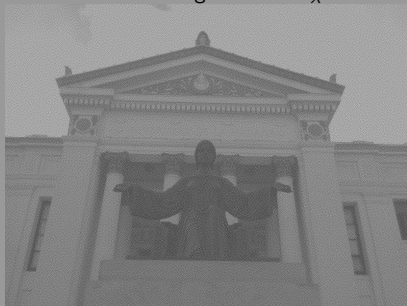
Resolver $(A_r \otimes A_c) \text{vec}(F) = \text{vec}(G + E)$

A_r de 1200×1200 y A_c de 1600×1600 circulares

G de 1600×1200 y $E \sim N(0, 0,01)$

Regularización de Tikhonov

solución regularizada $F_\lambda \longrightarrow$ imagen restaurada



$$\lambda = 10^{-2}$$



$$\lambda = 0.499$$

Regularización en Deblurring

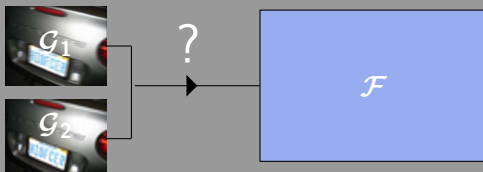
con criterio de L-curva



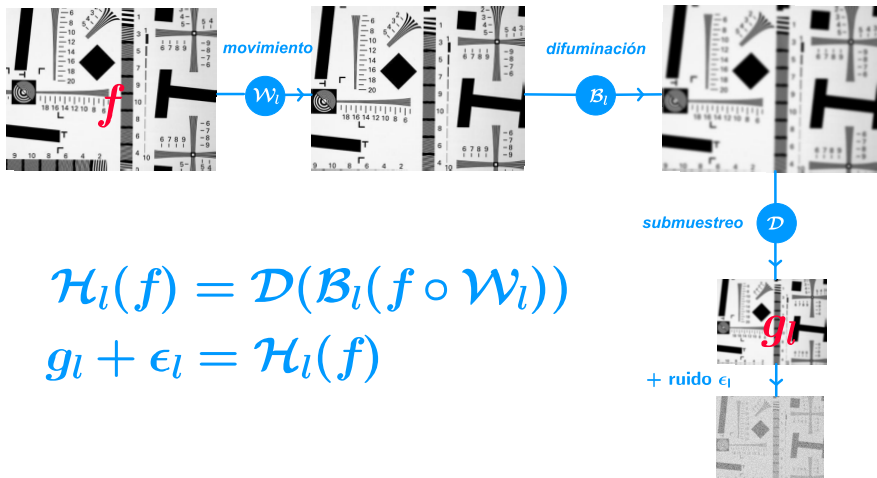
$$\lambda = 0.0499$$

Super-resolución

Problema: Dadas imágenes \mathcal{G}_1 y \mathcal{G}_2 de la misma escena de 250×200 píxeles, obtener imagen \mathcal{F} de la escena de 500×400 píxeles con menos degradaciones



Modelo para generar imágenes LR



Hipótesis del Modelo

- \mathcal{W} traslación
- \mathcal{B} lineal, espacialmente invariante, separable
- \mathcal{D} reescala
- condiciones de frontera periódicas

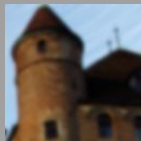
$$\xrightarrow{\mathbf{f}=\text{vec}(F)} \begin{array}{l} W_k : \mathbb{R}^{500 \cdot 400} \rightarrow \mathbb{R}^{500 \cdot 400} \\ B : \mathbb{R}^{500 \cdot 400} \rightarrow \mathbb{R}^{500 \cdot 400} \\ D : \mathbb{R}^{500 \cdot 400} \rightarrow \mathbb{R}^{250 \cdot 200} \end{array} \xrightarrow{\mathbf{g}_k = DBW_k \mathbf{f}}$$

$$\begin{pmatrix} \mathbf{g}_1 \\ \mathbf{g}_2 \end{pmatrix} = \begin{pmatrix} DBW_1 \\ DBW_2 \end{pmatrix} \mathbf{f}$$

Tareas de Super-resolución

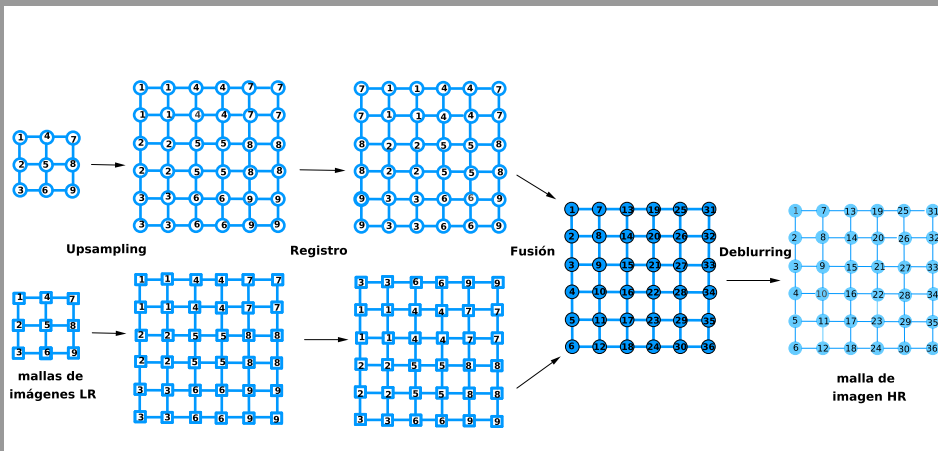
hipótesis \Rightarrow $W_k = P_k \otimes Q_k$ P_k, R circulares de 400×400
 $B = R \otimes C$ Q_k, C circulares de 500×500 $\Rightarrow DBW_k = DW_k B$

$$(DW_k B)^{-1} = B^{-1} W_k^{-1} D^{-1}$$



*imagen en
alta resolución*

Tareas de Super-resolución



Fusión

Entrada: matrices Z_1 y Z_2 de 500×400

Salida: matriz Z de 500×400

$$\text{SVD's } \begin{array}{l} Z_1 = U_1 \Sigma_1 V_1^T \\ Z_2 = U_2 \Sigma_2 V_2^T \end{array} \longrightarrow Z = U_2 \Sigma V_2^T$$

$$\Sigma = \begin{cases} \Sigma_1, & \text{si } \sigma_{\text{máx}}^1 \geq \sigma_{\text{máx}}^2 \\ \Sigma_2, & \text{si } \sigma_{\text{máx}}^2 > \sigma_{\text{máx}}^1 \end{cases}$$

Super-resolución

Ejemplo

imágenes $\mathcal{G}_1, \mathcal{G}_2$ de 250×250 píxeles

\mathcal{G}_1 referencia

\mathcal{G}_2 5 píxeles \downarrow 5 píxeles \rightarrow

condiciones de frontera periódicas

$$\text{PSF } k_{i,j} = \begin{cases} 1/(2,5^2\pi) & \text{si } i^2 + j^2 \leq 2,5 \\ 0 & \text{en otro caso} \end{cases}$$
$$\text{supp}(k) = [-249, 249] \times [-199, 199]$$

obtener imagen \mathcal{F} de 500×400



\mathcal{G}_1



\mathcal{G}_2

Super-resolución: Un problema mal planteado

upsampling

$$S_k = G_l \otimes I_{2 \times 2}$$

registro

$$Z_1 = S_1$$

$$Z_2 = \begin{bmatrix} \mathbf{0}_{5 \times 495} & I_{5 \times 5} \\ I_{495 \times 495} & \mathbf{0}_{495 \times 5} \end{bmatrix}^T S_2 \begin{bmatrix} \mathbf{0}_{5 \times 395} & I_{5 \times 5} \\ I_{395 \times 395} & \mathbf{0}_{395 \times 5} \end{bmatrix}$$

fusión

$$Z = U_2 \Sigma V_2^T$$

deblurring

$$(R \otimes C) \text{vec}(F) = \text{vec}(Z)$$

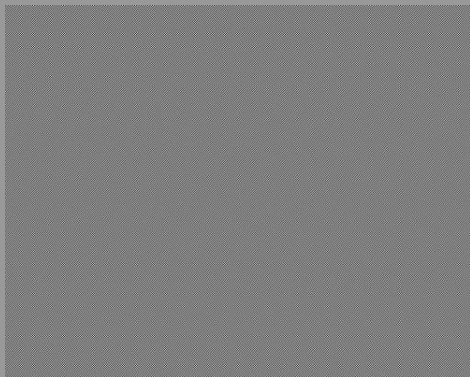


imagen restaurada \mathcal{F}

$$\text{cond}(R \otimes C) = 1.18912 \times 10^7$$

Regularización en Super-resolución

Regularización en Deblurring: SVD truncada

nivel truncamiento $\rho \leq 500 \cdot 400$

imagen restaurada \mathcal{F}_λ



$\lambda = 2000$

Regularización en Super-resolución



$$\lambda = 25000$$

Regularización en Super-resolución



$$\lambda = 75000$$

Fin

Deblurring $(A_r \otimes A_c)\text{vec}(F) = \text{vec}(G)$

256×256 píxeles

PSF k gaussiana s.d. = 5

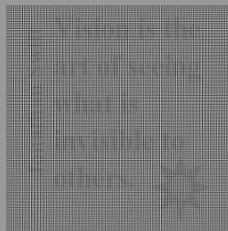
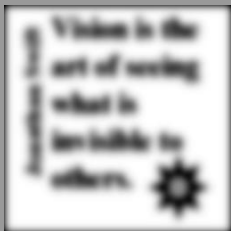
$\text{supp}(k) = [-127, 127] \times [127, 127]$

condiciones de frontera cero

A_r, A_c, G de 256×256

A_r, A_c, G de Toeplitz

$\text{cond}(A_r) = \text{cond}(A_c) = 4.6521 \times 10^{18}$



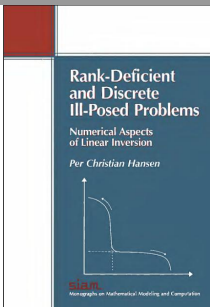
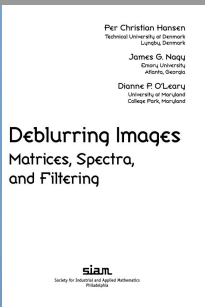
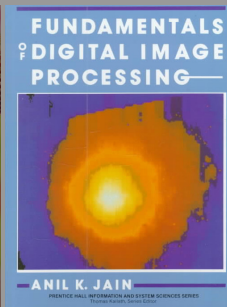
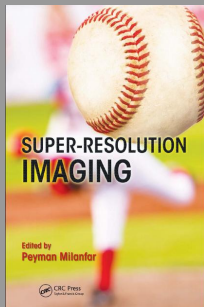
$\lambda = 10^{-16}$



$\lambda = 10^{-15}$

regularización de Tikhonov
parámetro regularización λ

Referencias I



Referencias II



C.W. Groetsch.

Inverse Problems: Activities for Undergraduates.

The Mathematical Association of America, 1999.



P. C. Hansen

Discrete Inverse Problems: Insight and Algorithms.

SIAM, 2010.



P.C. Hansen, J.G. Nagy, D.P. O'Leary.

Deblurring Images: matrices, spectra and filtering.

SIAM, 2006.



A. K. Jain.

Fundamentals of Digital Image Processing.

Pretince Hall, 1989.



P. Milanfar.

Super-Resolution Imaging.

Taylor & Francis Group, LLC., 2011.



D. P. O'Leary.

Scientific Computing with Case Studies.

SIAM, 2008.

Referencias III



G.M. Wing, J.D. Zahrt.

A Primer on Integral Equations of the First Kind: The Problem of Deconvolution and Unfolding.

SIAM, 1991.



M. Elad, Y. Hel-Or.

A Fast Super-Resolution Reconstruction Algorithm for Pure Translational Motion and Common Space-Invariant Blur.

IEEE Transaction on Image Processing Vol. 10, No. 8 (2001), pp. 1187-1193.



J. Kamm, J.G. Nagy

Kronecker products and SVD approximations for separable spatially variant blurs, 1998.



H. Nasir, V. Stankovic, S. Marshall.

Singular value decomposition based fusion for super-resolution image reconstruction.

IEEE International Conference on Signal and Image Processing Applications (2011), pp. 393-398.



S. C. Park, M. Y. Park, M. G. Kang.

Super-Resolution Image Reconstruction: A Technical Overview.

IEEE Signal Processing Magazine, 2003, pp. 21-36.